

数字信号处理

2017年秋冬学期

第五讲

2017年10月23日

第3章 离散傅里叶变换及其快速计算方法

3.3 DFT及其性质—DFT 的应用

■ 线性卷积求解-分段卷积-重叠相加法

- 重叠相加法—对输出 $y(n)$ 进行后处理
- 基本思路
 - 假设一个系统的输入为长序列 $x(n)$, 脉冲响应 $h(n)$ 为 M 点序列;
 - 把序列 $x(n)$ 分成多段 N 点序列, 并且 $N>M$;
 - 将每段序列和 $h(n)$ 进行线性卷积 (通过循环卷积实现), 然后再将结果 $y_l(n)$ 重叠相加。
 - 问题: 重叠部分如何处理?

数字信号处理 - 离散傅里叶变换及其快速计算方法

2

3.3 DFT及其性质—DFT 的应用

■ 线性卷积求解-分段卷积-重叠相加法

步骤:

- (1) 设 $h(n)$ 长为 M , $x(n)$ 为长序列, 首先把 $x(n)$ 分段, 每段长为 N , 即把 $x(n)$ 分为 $x_0(n), x_1(n), \dots, x_l(n), \dots$ 表示为:

$$x_l(n) = \begin{cases} x(n) & lN \leq n \leq (l+1)N-1 \\ 0 & \text{else} \end{cases}$$

则

$$x(n) = \sum_{k=-\infty}^{\infty} x_l(n)$$

数字信号处理 - 离散傅里叶变换及其快速计算方法

3

3.3 DFT及其性质—DFT 的应用

■ 线性卷积求解-分段卷积-重叠相加法

- (2) 线性卷积,

$$\begin{aligned} y(n) &= x(n) * h(n) = \left[\sum_{l=-\infty}^{\infty} x_l(n) \right] * h(n) \\ &= \sum_{l=-\infty}^{\infty} \underbrace{[x_l(n) * h(n)]}_{\text{第 } l \text{ 段线性卷积}} = \sum_{l=-\infty}^{\infty} y_l(n) \end{aligned}$$

$x_l(n)$ 长为 N , $h(n)$ 长为 M

$y_l(n)$ 的长为: $L=N+M-1$

因此, $y_l(n)$ 比 $x_l(n)$ 长, 多余的点数为

$$L - N = N + M - 1 - N = M - 1$$

数字信号处理 - 离散傅里叶变换及其快速计算方法

4

3.3 DFT及其性质—DFT 的应用

■ 线性卷积求解-分段卷积-重叠相加法

由于 $y_l(n)$ 的范围为:

$$lN \leq n \leq (l+1)N + M - 2$$

而 $y_{l+1}(n)$ 的范围是:

$$(l+1)N \leq n \leq (l+2)N + M - 2$$

因此, 线性卷积 $y_l(n)$ 最后的 $(M-1)$ 项与 $y_{l+1}(n)$ 最开始的 $(M-1)$ 项发生了重叠。

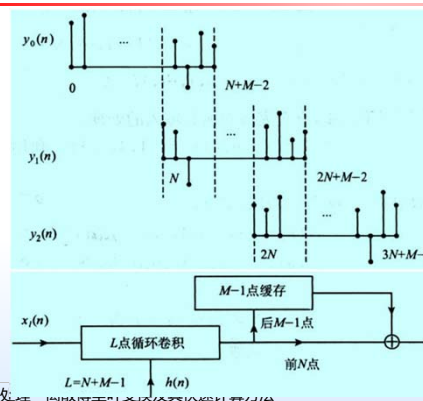
$$y(n) = y_l(n) + y_{l+1}(n)$$

这种方法把 $y_l(n)$ 最后的 $(M-1)$ 项与 $y_{l+1}(n)$ 最开始的 $(M-1)$ 项相加起来得到 $y((l+1)N), \dots, y((l+1)N + M - 2)$ 各项, 所以称为重叠相加法。

数字信号处理 - 离散傅里叶变换及其快速计算方法

5

3.3 DFT及其性质—DFT 的应用



数字信号处理 - 离散傅里叶变换及其快速计算方法

6

3.3 DFT及其性质—DFT 的应用

■ 线性卷积求解-分段卷积-重叠相加法

例 3.21 设 $x(n] = (n+1)$, $0 \leq n \leq 9$, $h(n) = \{1, 0, -1\}$, 按 $N=6$ 用重叠相加法计算

$$y(n) = x(n) * h(n)$$

解：因为 $N=6$ ，则把 $x(n)$ 分为两段：

$$x_1 = [1, 2, 3, 4, 5, 6]$$

$$x_2 = [7, 8, 9, 10, 0, 0]$$

因为 $x(n)$ 在 $n > 9$ 时无值，可以填两个零，或者不填零。现在计算每一部分与 $h(n)$ 线性卷积或 $L=N+M-1$ 点循环卷积。

3.3 DFT及其性质—DFT 的应用

■ 线性卷积求解-分段卷积-重叠相加法

$$y_1(n) = x_1(n) * h(n)$$

$$= \{1 \ 2 \ 2 \ 2 \ 2 \ 2 \ -5 \ -6\}$$

$$y_2(n) = x_2(n) * h(n)$$

$$= \{7 \ 8 \ 2 \ 2 \ -9 \ -10 \ 0 \ 0\}$$

把 $y_1(n)$ 最后的 $(M-1)=2$ 项与 $y_2(n)$ 最开始的 $(M-1)=2$ 项相加起来得到相应的各项，最后输出为：

$$y(n) = \{1, 2, 2, 2, 2, 2, 2, 2, -9, -10\}$$

3.3 DFT及其性质—DFT 的应用

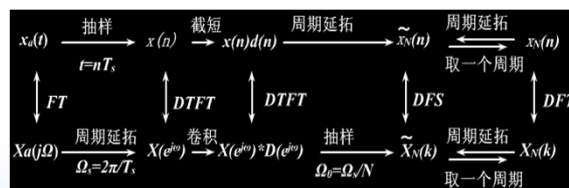
■ 线性卷积求解-分段卷积-小结

- 重叠相加法：对输入序列分段后进行线性卷积（循环卷积），对分段输出进行重叠相加，形成完整输出（输出端处理）。
- 重叠保留法：对输入序列进行重叠分段，构成短序列，分别进行循环卷积运算，对分段输出序列，先舍去再拼接，形成最终输出（输入端处理）。
- 共同特点：以逐段的方式通过循环卷积来完成线性卷积的计算，具有相同的运算量 and 处理效率。

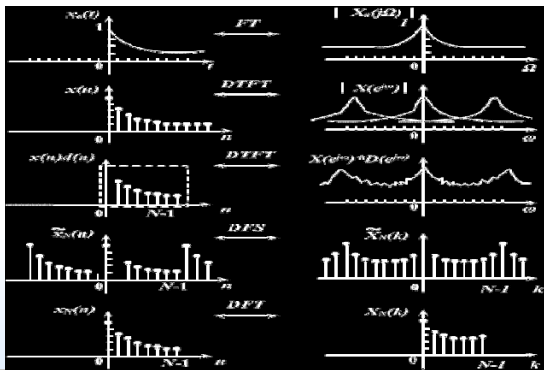
3.3 DFT及其性质—DFT 的应用

■ 频谱分析

信号的频谱分析：计算信号的傅里叶变换



3.3 DFT及其性质—DFT 的应用



3.3 DFT及其性质—DFT 的应用

■ 频谱分析

参数的选择

T - 时域取样间隔

f_s - 时域取样频率

T_0 - 信号记录长度 (时域周期)

F_0 - (频率分辨率) 频域取样间隔

N - 取样点数

f_h - 信号最高频率

$$f_s \geq 2f_h$$

$$f_s = 1/T$$

$$T_0 = NT$$

$$T_0 = 1/F_0$$

$$f_s = 1/T = N/T_0 = NF_0$$

在信号最高频率不变情况下，要提高频率分辨率，需增加采样点数 N ，即采集更长的数据。为便于 FFT 计算，一般选择 $N = 2^r$ (r 为正整数)

$$N = \frac{T_0}{T} = \frac{f_s}{F_0}$$

3.3 DFT及其性质—DFT 的应用

■ 频谱分析

DFT 计算频谱

$$X(k) = \sum_{n=0}^{N-1} x(n)e^{-j(\frac{2\pi}{N})nk} \quad 0 \leq n \leq N-1$$

➤ 当 $k = 0, 1, \dots, \frac{N}{2}$ 时, $X(k)$ 对应频率为 $\frac{f_s}{N}k$ 的频谱值。

➤ 频谱 $X(k)$ 是由实部 U 和虚部 V 组成:

$$X(k) = U(k) + jV(k), \quad k = 0, \dots, \frac{N}{2}$$

➤ 于是幅频响应 $A(k)$ 、相频响应 $\Phi(k)$ 、功率谱 $G(k)$ 分别为:

$$A(k) = |X(k)| \quad \Phi(k) = \arctan \frac{V(k)}{U(k)} \quad G(k) = |X(k)|^2$$

数字信号处理 - 离散傅里叶变换及其快速计算方法

13

3.3 DFT及其性质—DFT 的应用

■ 频谱分析

例 有一频谱分析用的 DFT/FFT 处理器, 其取样点数为 2 的整数次幂, 假设没有采用任何的数据处理措施, 已给条件为: 频率分辨率 $\leq 10\text{Hz}$, 信号最高频率 $\leq 4\text{kHz}$ 。

试确定以下参量:

- 1) 最小记录长度 T_0 ;
- 2) 取样点最大时间间隔 T (即最小取样频率);
- 3) 在一个记录中最少点数 N 。

数字信号处理 - 离散傅里叶变换及其快速计算方法

14

3.3 DFT及其性质—DFT 的应用

■ 频谱分析

解: 1) 最小记录长度:

$$T_0 \geq \frac{1}{F_0} = \frac{1}{10\text{Hz}} = 0.1\text{s}$$

2) 最大取样间隔 ($f_s > 2f_h$ $f_s = 1/T$)

$$T < \frac{1}{2f_h} = \frac{1}{2 \times 4 \times 10^3 \text{Hz}} = 0.125\text{ms}$$

3) 最小记录点数

$$N > \frac{f_s}{F_0} = \frac{2f_h}{F_0} = \frac{2 \times 4 \times 10^3}{10} = 800$$

$$\text{取 } N = 2^m = 2^{10} = 1024 > 800$$

数字信号处理 - 离散傅里叶变换及其快速计算方法

15

3.3 DFT及其性质—DFT 的应用

■ 频谱分析

例 有一调幅信号

$$x_a(t) = [1 + \cos(2\pi \times 100t)] \cos(2\pi \times 600t)$$

用 DFT 做频谱分析, 要求能分辨 $x_a(t)$ 的所有频率分量, 问

- (1) 取样频率应为多少赫兹?
- (2) 取样时间间隔应为多少秒?
- (3) 若用 $f_s = 3\text{kHz}$ 频率取样, 取样数据为 512 点, 做频谱分析, 求 512 点 $X(k)$, 并画出 $X(k)$ 的幅频特性 $|X(k)|$, 标出主要点的坐标值。

数字信号处理 - 离散傅里叶变换及其快速计算方法

16

3.3 DFT及其性质—DFT 的应用

■ 频谱分析

$$\begin{aligned} \text{解: } x_a(t) &= [1 + \cos(2\pi \times 100t)] \cos(2\pi \times 600t) \\ &= \cos(2\pi \times 600t) \\ &\quad + \frac{1}{2} \cos(2\pi \times 700t) + \frac{1}{2} \cos(2\pi \times 500t) \end{aligned}$$

(1) 取样频率应为:

$$f_s > 2 \times 700 = 1400\text{Hz}$$

(2) 取样时间间隔应为:

$$T < \frac{1}{f_s} = \frac{1}{1400} = 0.00072\text{s} = 0.72\text{ms}$$

数字信号处理 - 离散傅里叶变换及其快速计算方法

17

3.3 DFT及其性质—DFT 的应用

■ 频谱分析

$$(3) x(n) = x_a(t)|_{t=nT}$$

$$\begin{aligned} &= \cos\left(2\pi \times \frac{6}{14}n\right) \\ &\quad + \frac{1}{2} \cos\left(2\pi \times \frac{7}{14}n\right) + \frac{1}{2} \cos\left(2\pi \times \frac{5}{14}n\right) \end{aligned}$$

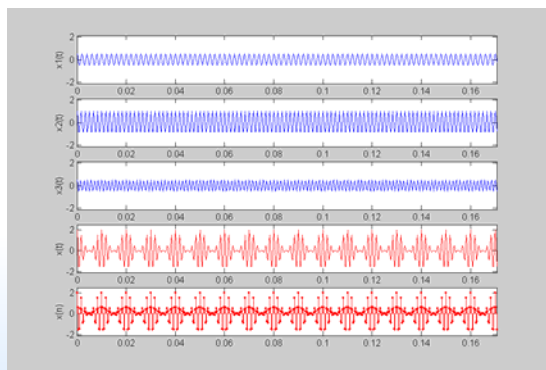
如果 $2\pi/\omega$ 是有理数 (整数或分数), 则仍为周期序列

所以此例中 $x(n)$ 为周期序列, 周期 $N=14$
因此, 取样点数至少为 14 点, 最小记录点数 $N=14$ 。

数字信号处理 - 离散傅里叶变换及其快速计算方法

18

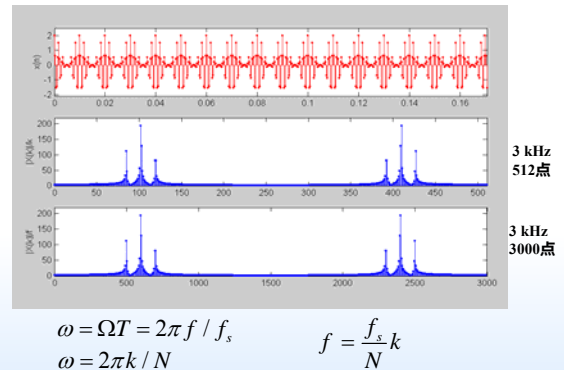
3.3 DFT及其性质—DFT 的应用



数字信号处理 - 离散傅里叶变换及其快速计算方法

19

3.3 DFT及其性质—DFT 的应用



$$\omega = \Omega T = 2\pi f / f_s$$

$$\omega = 2\pi k / N$$

$$f = \frac{f_s}{N} k$$

数字信号处理 - 离散傅里叶变换及其快速计算方法

20

3.3 DFT及其性质—DFT 的应用

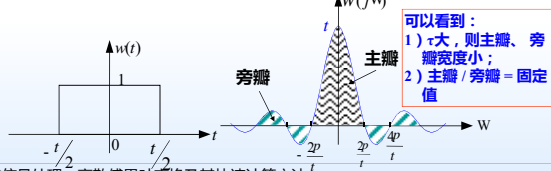
■ 频谱泄漏 (窗效应)

对时域截短, 使频谱变宽拖尾, 称为泄漏

- 实际中的离散时间序列 $x(n)$ 可能是非时限的, 处理这样序列时需要将它截短, 即把该序列限定为 N 点, 相当于将 $x(n)$ 乘以一个矩形窗口 $W(nT)$, 根据频域卷积定理: 时域相乘映射为频域卷积

$$x(n) \cdot W(n) \rightarrow X(e^{j\omega}) * W(e^{j\omega})$$

矩形窗口的时域和频域波形如下图, 其中 τ 为矩形窗口的宽度。



数字信号处理 - 离散傅里叶变换及其快速计算方法

21

3.3 DFT及其性质—DFT 的应用

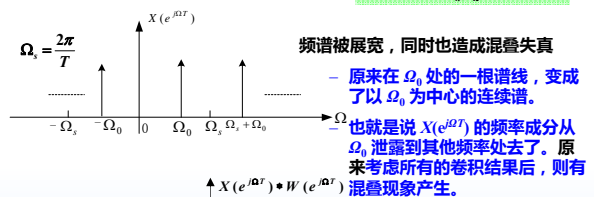
■ 频谱泄漏 (窗效应)

例如:

$$x(n) = e^{j\Omega_0 nT}$$

DFT

$$X(e^{j\omega}) = \frac{2\pi}{T} \sum_{m=-\infty}^{\infty} \delta(\Omega_0 + m\Omega_s)$$



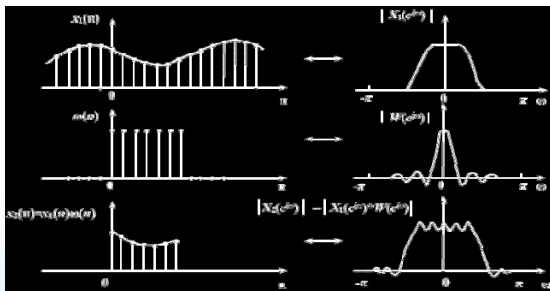
数字信号处理 - 离散傅里叶变换及其快速计算方法

22

3.3 DFT及其性质—DFT 的应用

■ 频谱泄漏 (窗效应)

对时域截短, 使频谱变宽拖尾, 称为泄漏



改善方法: 1) 增加 $x(n)$ 长度 N ; 2) 缓慢截短(窗函数)

数字信号处理 - 离散傅里叶变换及其快速计算方法

23

3.3 DFT及其性质—DFT 的应用

■ 频谱泄漏 (窗效应)

怎样减少泄漏效应?

- 选择适当长度的窗函数使主瓣变窄, 提高分析的精度。
 - 当 $\tau \rightarrow \infty$ 时, $W(e^{j\omega})$ 变为在 $\Omega=0$ 处的冲激函数, 而冲激函数与任何 $X(e^{j\omega})$ 相卷积都不会使 $X(e^{j\omega})$ 有所改变。
- 选择适当的窗函数
 - 为了减少泄露, 尽量寻找频谱接近冲激函数的窗函数 (即旁瓣小, 主瓣窄, 但这是矛盾的)。
 - 常用的窗函数有汉明窗、汉宁窗、凯塞窗等

数字信号处理 - 离散傅里叶变换及其快速计算方法

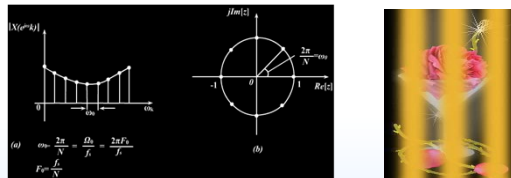
24

3.3 DFT及其性质—DFT 的应用

■ 栅栏效应

栅栏效应：DFT 只计算离散点（基频 F_0 的整数倍处）的频谱，而不是连续函数。

$x(n) \xrightarrow{\text{DFT}}$ 离散频谱 \rightarrow 连续频谱上的若干点

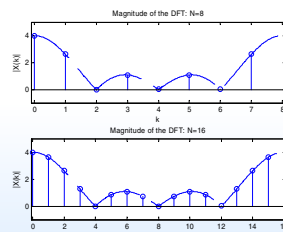


这好像是在栅栏的一边通过缝隙观看另一边的景色一样，所以称之为**栅栏效应**。被“栅栏”挡住的景色是看不到的，所以有可能漏掉大的频谱分量。

3.3 DFT及其性质—DFT 的应用

■ 栅栏效应

- 改善方法：增加频域取样点数 N （时域补零），使谱线更密
- 补0不会影响信号的 DFT 特性，因为它没有增加信号的信息，它只是可以减少“栅栏”，看到了原来就存在的信息



3.4 FFT

• FFT: Fast Fourier Transform

- 1965 年，James W. Cooley 和 John W. Tukey 在《Mathematics of Computation》上发表了“一种用机器计算复序列傅立叶级数的算法（An algorithm for the machine calculation of complex Fourier series）”论文。

- 自此之后，新的算法不断涌现。一种是对 N 等于 2 的整数次幂的算法，如基 2 算法，基 4 算法。另一种是 N 不等于 2 的整数次幂的算法，例如混合基算法。



James Cooley(1926-)美国数学家，哥伦比亚大学的数学博士，以他所创造的快速傅立叶变换(FFT)而著名，FFT的数学意义不光在于使大家明白了傅立叶(Fourier)变换计算起来是多么容易，而且使得数字信号处理技术取得了突破性的进展，对于现在的网络通信，图形图像处理等领域的开发与前进奠定了基础。



John W. Tukey(1915-2000)普林斯顿大学和贝尔实验室统计学家 快速傅立叶变换的发展者之一

3.4 FFT

直接计算 DFT 的运算量分析

N 点有限长序列 $x(n)$ 的 DFT 变换对的定义为：

$$X(k) = \sum_{n=0}^{N-1} x(n) W_N^{nk} \quad k = 0, \dots, N-1$$

$$x(n) = \frac{1}{N} \sum_{k=0}^{N-1} X(k) W_N^{-nk} \quad n = 0, \dots, N-1$$

$$\text{其中 } W_N = e^{-j\frac{2\pi}{N}}$$

假设 $x(n)$ 是复序列，同时 $X(k)$ 一般也是复数。

3.4 FFT

直接计算 DFT 的运算量分析

$$X(k) = \sum_{n=0}^{N-1} x(n) e^{-j\frac{2\pi}{N}nk} = \sum_{n=0}^{N-1} x(n) W_N^{nk}$$

	复数乘法	复数加法
每一个 $X(k)$	N	$N-1$
N 个 $X(k)$ (N 点 DFT)	N^2	$N(N-1)$

$$(e + jf) + (g + jh) = (e + g) + j(f + h)$$

$$(a + jb)(c + jd) = (ac - bd) + j(ad + cb)$$

	实数乘法	实数加法
一次复乘	4	2
一次复加		2
每一个 $X(k)$	$4N$	$2N + 2(N-1) = 2(2N-1)$
N 个 $X(k)$ (N 点 DFT)	$4N^2$	$2N(2N-1)$

3.4 FFT

直接计算 DFT 的运算量分析

如 $N=512$ 、1024 和 8192 时，DFT 的乘法运算

$$N^2 = 512^2 = 2^{18} = 262144 \text{ (26万次)}$$

$$N^2 = 1024^2 = 2^{20} = 1048576 \text{ (105万次)}$$

$$N^2 = 8192^2 = 2^{26} = 67108864 \text{ (6千7百万次)}$$

- 对于大 N ，在实际中是不能接受的，无法“实时”应用 DFT。
- Cooley 与 Turkey 提出的 FFT 算法，大大减少了计算次数。如 $N=512$ 时，FFT 的乘法次数约为 2000 次，提高了约 128 倍，而且简化随 N 的增加而巨增，因而，用数值方法计算频谱得到实际应用。

3.4 FFT

$$W_N^{nk} = e^{-j\frac{2\pi}{N}nk}$$

周期性 $W_N^{nk} = W_N^{(N+n)k} = W_N^{n(N+k)}$

可约性 $W_N^{nk} = W_{mN}^{mnk} \quad W_N^{nk} = W_{N/m}^{nk/m}$

$$e^{-j\frac{2\pi}{mN}mnk} \quad e^{-j\frac{2\pi}{N}\frac{N}{2}k} = e^{-j\pi} = -1$$

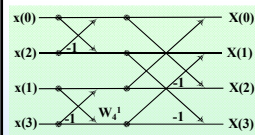
特殊点: $W_N^0 = 1 \quad W_N^{N/2} = -1 \quad W_N^{(k+N/2)} = -W_N^k$

3.4 FFT

以 4 点 DFT 为例：

直接计算需要： $4^2 = 16$ 次复数乘。而按周期性及对称性，可以将 DFT 表示为：

$$\begin{bmatrix} X(0) \\ X(1) \\ X(2) \\ X(3) \end{bmatrix} = \begin{bmatrix} W_4^{0\cdot0} & W_4^{0\cdot1} & W_4^{0\cdot2} & W_4^{0\cdot3} \\ W_4^{1\cdot0} & W_4^{1\cdot1} & W_4^{1\cdot2} & W_4^{1\cdot3} \\ W_4^{2\cdot0} & W_4^{2\cdot1} & W_4^{2\cdot2} & W_4^{2\cdot3} \\ W_4^{3\cdot0} & W_4^{3\cdot1} & W_4^{3\cdot2} & W_4^{3\cdot3} \end{bmatrix} \begin{bmatrix} x(0) \\ x(1) \\ x(2) \\ x(3) \end{bmatrix} = \begin{bmatrix} 1 & 1 & 1 & 1 \\ 1 & W_4^1 & -1 & -W_4^1 \\ 1 & -1 & 1 & -1 \\ 1 & -W_4^1 & -1 & W_4^1 \end{bmatrix} \begin{bmatrix} x(0) \\ x(1) \\ x(2) \\ x(3) \end{bmatrix}$$



$$\begin{aligned} X(0) &= [x(0) + x(2)] + [x(1) + x(3)] \\ X(1) &= [x(0) - x(2)] + [x(1) - x(3)] W_4^1 \\ X(2) &= [x(0) + x(2)] - [x(1) + x(3)] \\ X(3) &= [x(0) - x(2)] - [x(1) - x(3)] W_4^1 \end{aligned}$$

只需要 1 次复数乘

3.4 FFT

基本思路：

- 虽然存在不同的 FFT 方法，但其核心思想大致相同，即通过**迭代**，反复利用**低点数**的 DFT 完成**高点数**的 DFT 计算，以此达到降低运算量的目的。
- 迭代**：利用 W_N^{kn} 的周期性、特殊点和对称性，合并 DFT 计算中很多重复的计算，达到降低运算量的目的。
- 低点数**：将傅里叶变换 DFT 分解成相继小的 DFT 计算，即 N 变小（计算量与 N^2 成正比）。

• FFT 算法分类：

- 时间抽选法 DIT: Decimation-In-Time
- 频率抽选法 DIF: Decimation-In-Frequency

3.4 FFT——基2时域抽选法

设序列点数 $N = 2^M$ ， M 为整数。若不满足，则补零。
 N 为 2 的整数幂的 FFT 算法称基-2 FFT 算法。

将序列 $x(n)$ 按 n 的奇偶分成两组：

$$\begin{cases} x_1(r) = x(2r) \\ x_2(r) = x(2r+1) \end{cases} \quad r = 0, 1, \dots, \frac{N}{2} - 1$$

一组由偶数序号组成，另一组由奇数序号组成。

3.4 FFT——基2时域抽选法

$$\begin{aligned} X(k) &= \sum_{n=0}^{N-1} x(n) W_N^{nk} = \sum_{\substack{n=0 \\ n \text{ 为偶数}}}^{N-1} x(n) W_N^{nk} + \sum_{\substack{n=0 \\ n \text{ 为奇数}}}^{N-1} x(n) W_N^{nk} \\ &= \sum_{r=0}^{N/2-1} x(2r) W_N^{2rk} + \sum_{r=0}^{N/2-1} x(2r+1) W_N^{(2r+1)k} \\ &= \sum_{r=0}^{N/2-1} x_1(r) (W_N^2)^{rk} + W_N^k \sum_{r=0}^{N/2-1} x_2(r) (W_N^2)^{rk} \\ &= \sum_{r=0}^{N/2-1} x_1(r) W_{N/2}^{rk} + W_N^k \sum_{r=0}^{N/2-1} x_2(r) W_{N/2}^{rk} \\ &= X_1(k) + W_N^k X_2(k) \quad \begin{matrix} r = 0, 1, \dots, \frac{N}{2} - 1 \\ k = 0, 1, \dots, N - 1 \end{matrix} \end{aligned}$$

3.4 FFT——基2时域抽选法

偶数取样点 DFT 为：

$$X_1(k) = \sum_{r=0}^{\frac{N}{2}-1} x(2r) W_{N/2}^{kr} = \sum_{r=0}^{\frac{N}{2}-1} x_1(r) W_{N/2}^{kr} \quad \begin{matrix} r = 0, 1, \dots, N/2 - 1 \\ k = 0, 1, \dots, N - 1 \end{matrix}$$

奇数取样点 DFT 为：

$$X_2(k) = \sum_{r=0}^{\frac{N}{2}-1} x(2r+1) W_{N/2}^{kr} = \sum_{r=0}^{\frac{N}{2}-1} x_2(r) W_{N/2}^{kr}$$

3.4 FFT——基2时域抽选法

当 $k = \frac{N}{2}, \frac{N}{2} + 1, \dots, N-1$ 时

令 $k = \frac{N}{2} + l, \quad l = 0, \dots, \frac{N}{2} - 1$

观察 $X(k) = \underbrace{X_1(k)}_{\text{第一}} + \underbrace{W_N^k X_2(k)}_{\text{第三}} \underbrace{X_2(k)}_{\text{第二}}$

则

$$X_1(k) = X_1\left(\frac{N}{2} + l\right) = \sum_{r=0}^{N/2-1} x(2r) W_{N/2}^{r(\frac{N}{2}+l)} = \sum_{r=0}^{N/2-1} x(2r) W_{N/2}^{r \frac{N}{2}} \cdot W_{N/2}^{rl}$$

$$= \sum_{r=0}^{N/2-1} x(2r) W_{N/2}^{rl} = X_1(l)$$

数字信号处理 - 离散傅里叶变换及其快速计算方法

37

3.4 FFT——基2时域抽选法

同理 $X_2(k) = X_2\left(\frac{N}{2} + l\right) = X_2(l)$

而 $W_N^k = W_N^{(\frac{N}{2}+l)} = -W_N^l \quad (\because W_N^{\frac{N}{2}} = e^{-j\frac{2\pi}{N} \cdot \frac{N}{2}} = e^{-j\pi} = -1)$

因此

$$\begin{cases} X(k) = X_1(k) + W_N^k X_2(k) \\ X(k + \frac{N}{2}) = X_1(k) - W_N^k X_2(k) \end{cases} \quad k = 0, 1, \dots, \frac{N}{2} - 1$$

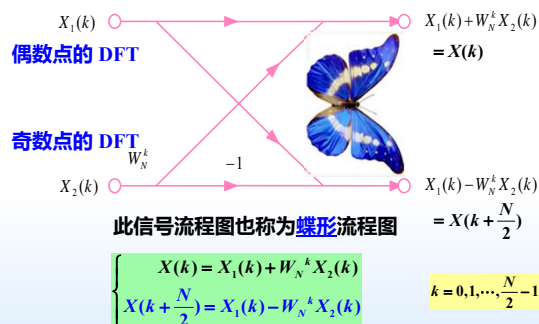
因此：整个 $X(k)$ 的计算，可以分解为前、后半部分的运算。而只要求出前一半，就可以由上式求出整个序列。

数字信号处理 - 离散傅里叶变换及其快速计算方法

38

3.4 FFT——基2时域抽选法

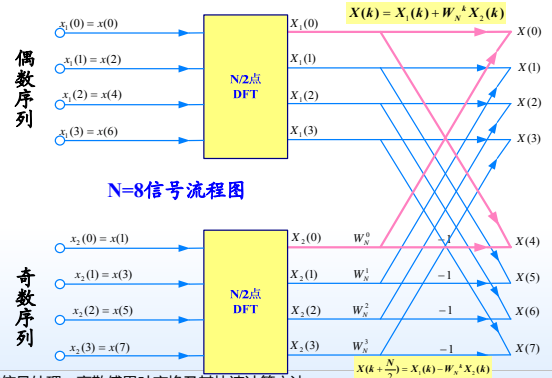
上式表示为信号流程图：



数字信号处理 - 离散傅里叶变换及其快速计算方法

39

3.4 FFT——基2时域抽选法



数字信号处理 - 离散傅里叶变换及其快速计算方法

40

3.4 FFT——基2时域抽选法

$N/2$ 仍为偶数，进一步分解: $N/2 \rightarrow N/4$

$$X_1(k) = \sum_{r=0}^{N/2-1} x(2r) W_{N/2}^{kr} = \sum_{r=0}^{N/4-1} x_1(r) W_{N/2}^{2kr} + \sum_{r=0}^{N/4-1} x_1(r+N/4) W_{N/2}^{2kr}$$

$$x(n) \begin{cases} x(2r) = x_1(r) \begin{cases} x_1(2l) = x_3(l) \begin{cases} \dots \end{cases} \\ x_1(2l+1) = x_4(l) \begin{cases} \dots \end{cases} \end{cases} \\ x(2r+1) = x_2(r) \begin{cases} x_2(2l) = x_5(l) \begin{cases} \dots \end{cases} \\ x_2(2l+1) = x_6(l) \begin{cases} \dots \end{cases} \end{cases} \end{cases}$$

数字信号处理 - 离散傅里叶变换及其快速计算方法

41

3.4 FFT——基2时域抽选法

$$\begin{cases} x_1(2l) = x_3(l) \\ x_1(2l+1) = x_4(l) \end{cases} \quad l = 0, 1, \dots, \frac{N}{4} - 1$$

$$\begin{cases} X_1(k) = X_3(k) + W_{N/2}^k X_4(k) \\ X_1(k + \frac{N}{4}) = X_3(k) - W_{N/2}^k X_4(k) \end{cases} \quad k = 0, 1, \dots, \frac{N}{4} - 1$$

同理

$$\begin{cases} X_2(k) = X_5(k) + W_{N/2}^k X_6(k) \\ X_2(k + \frac{N}{4}) = X_5(k) - W_{N/2}^k X_6(k) \end{cases} \quad k = 0, 1, \dots, \frac{N}{4} - 1$$

数字信号处理 - 离散傅里叶变换及其快速计算方法

42

3.4 FFT——基2时域抽选法

由于 $N=2^M$ ，这样逐级分解，直到 2 点 DFT

当 $N=8$ 时，即分解到 $X_3(k)$, $X_4(k)$, $X_5(k)$, $X_6(k)$, $k=0,1$

$$X_3(k) = \sum_{l=0}^{N/4-1} x_3(l) W_{N/4}^{lk} = \sum_{l=0}^1 x_3(l) W_{N/4}^{lk} \quad k=0,1$$

$$\begin{cases} X_3(0) = x_3(0) W_2^0 + W_2^0 x_3(1) = x(0) + W_N^0 x(4) \\ X_3(1) = x_3(0) W_2^1 + W_2^1 x_3(1) = x(0) - W_N^0 x(4) \end{cases}$$

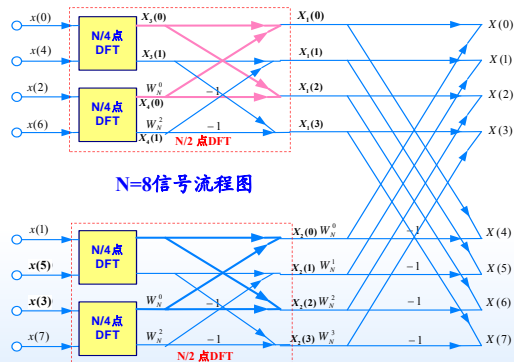
$$X_4(k) = \sum_{l=0}^{N/4-1} x_4(l) W_{N/4}^{lk} = \sum_{l=0}^1 x_4(l) W_{N/4}^{lk} \quad k=0,1$$

$$\begin{cases} X_4(0) = x_4(0) W_2^0 + W_2^0 x_4(1) = x(2) + W_N^0 x(6) \\ X_4(1) = x_4(0) W_2^1 + W_2^1 x_4(1) = x(2) - W_N^0 x(6) \end{cases}$$

数字信号处理 - 离散傅里叶变换及其快速计算方法

43

3.4 FFT——基2时域抽选法

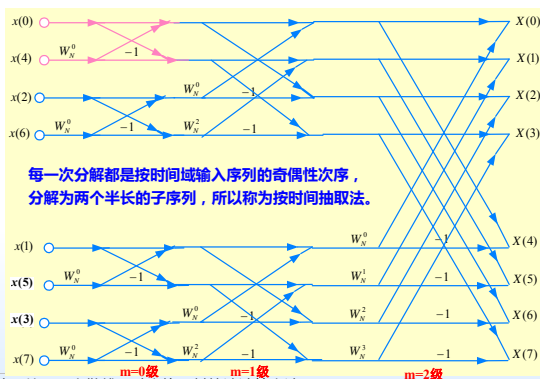


N=8信号流程图

数字信号处理 - 离散傅里叶变换及其快速计算方法

44

3.4 FFT——基2时域抽选法



每一次分解都是按时间域输入序列的奇偶性次序，分解为两个半长的子序列，所以称为按时间抽取法。

数字信号处理 - 离散傅里叶变换及其快速计算方法

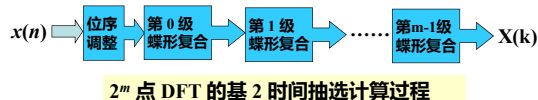
45

3.4 FFT——基2时域抽选法

上式中

$$\begin{bmatrix} W_4^0 \\ W_4^1 \end{bmatrix} = \begin{bmatrix} e^{-j\frac{\pi}{4}} \\ e^{-j\frac{\pi}{2}} \end{bmatrix} = \begin{bmatrix} 1 \\ -j \end{bmatrix}$$

$$\begin{bmatrix} W_8^0 \\ W_8^1 \\ W_8^2 \\ W_8^3 \end{bmatrix} = \begin{bmatrix} 1 \\ (1-j)/\sqrt{2} \\ -j \\ -(1+j)/\sqrt{2} \end{bmatrix}$$



2^m 点 DFT 的基 2 时间抽取计算过程

- 引入FFT出发点：考虑 W 因子的特点和性质，简化算法。
- DIT-FFT算法：时间域输入信号逐级分解为奇偶序列。

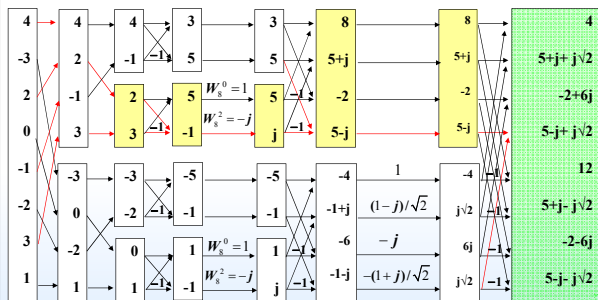
数字信号处理 - 离散傅里叶变换及其快速计算方法

46

3.4 FFT——基2时域抽选法

例 使用基 2 时间抽选法 FFT 流图，

计算下列数据的 8 点 DFT： $x=[4, -3, 2, 0, -1, -2, 3, 1]$

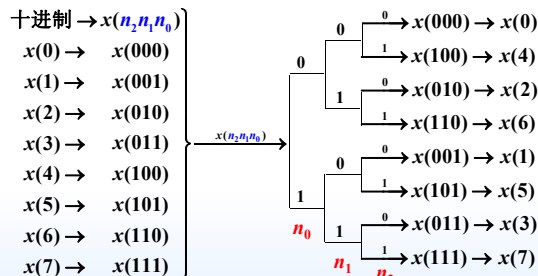


数字信号处理 - 离散傅里叶变换及其快速计算方法

47

3.4 FFT——基2时域抽选法

输入位序重排： N 点 DFT 分解为两个 $N/2$ 点 DFT → 输入序列按奇偶分组 → 再分解 → 再奇偶重排 → 直到 2 点 DFT。



输入序列重排实际上就是完成二进制前后位序的相互交换 $x(n_2 n_1 n_0) \leftrightarrow x(n_0 n_1 n_2)$

数字信号处理 - 离散傅里叶变换及其快速计算方法

48

3.4 FFT——基2时域抽选法

当 $N = 2^M$ 时, 共有 $M = \log_2 N$ 级蝶形; 每级 $N/2$ 个蝶形; 每个蝶形有 1 次复数乘法, 2 次复数加法。

复数乘法:

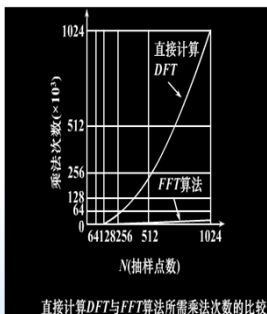
$$m_F = 1 \times \frac{N}{2} \times M = \frac{N}{2} \log_2 N$$

复数加法:

$$a_F = 2 \times \frac{N}{2} \times M = N \log_2 N$$

比较 DFT/FFT

$$\frac{m_F(DFT)}{m_F(FFT)} = \frac{N^2}{\frac{N}{2} \log_2 N} = \frac{2N}{\log_2 N}$$



直接计算DFT与FFT算法所需乘法次数的比较

数字信号处理 - 离散傅里叶变换及其快速计算方法

49

3.4 FFT——基2时域抽选法

• FFT 算法

- 上面讨论的 FFT 算法假定 N 为 2 的整数次幂, 即 $N = 2^M$, 是 **基2 FFT 算法**。
- 当 $N = R^M$ 时, 这样的算法叫做 **基R FFT 算法**, 而当 $N = R_1^{M_1} R_2^{M_2} R_3^{M_3}$ 时, 叫做 **混合基算法**。
- 当 N 是一个高度合数时, 可得到最有效的算法。最受欢迎也最易编程的算法是 **基2 FFT 算法**。
- 对于不能分解的质数, 或者当 N 不是 2 的整数次幂时, 可以在信号的末尾补 0, 使其成为高度合数或 2 的整数次幂。

• Matlab FFT 实现

- Matlab 提供了内建的 $X = \text{fft}(x, N)$ 函数来计算矢量 x 的 DFT。
- fft 函数是机器码写成的, 而不是以 Matlab 指令写成的, 即不存在 .m 文件。因此, 它的执行速度很快。
- 采用混合算法。
 - 若 N 为 2 的幂, 则得到高速的基 2 FFT 算法;
 - 若 N 不是 2 的幂, 则将 N 分解成质数, 得到较慢的混合基 FFT;
 - 若 N 为质数, 则 fft 函数采用原始 DFT 算法。

数字信号处理 - 离散傅里叶变换及其快速计算方法

50

3.4 FFT——基2时域抽选法

- 如果输入序列 x 的长度小于 N , 则填零使其成为 N 点序列, 如果省略变量 N , 则 DFT 的长度即为 x 的长度。
如果 x 为一个矩阵, 则计算 x 中每列的 N 点 DFT。
- IDFT 由 ifft 函数完成, 它的特征与 fft 函数相同。

例 研究当 $1 \leq n \leq 2048$ 时, fft 函数的执行时间, 这将展示不同的 N 的情形下, 划分 - 组合的策略。

Matlab 提供了两个函数来确定执行时间。clock 函数读取瞬时时间, etime(t1,t2) 函数计算时刻 t_1 、 t_2 之间所经历的时间。为了确定执行时间, 产生长度为 1 至 2048 的随机矢量, 计算它们的 FFT, 将计算时间存在一个数组里。最后画出执行时间相对于 N 的图。

数字信号处理 - 离散傅里叶变换及其快速计算方法

51

3.4 FFT——基2时域抽选法

```
% Computational Complexity of FFT using MATLAB
N = 2048;
fft_time=zeros(1,N);

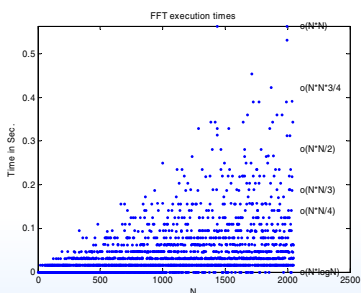
for n=1:N
    x=rand(1,n);%Uniformly distributed random numbers.
    t=clock;
    fft(x);
    fft_time(n)=etime(clock,t); % 计算时间
end

n=[1:1:Nmax];top = max(fft_time);
plot(n,fft_time,'.');axis([0,2500,0,top]);
xlabel('N');ylabel('Time in Sec. ');title('FFT execution times')
text(2100,top,'o(N^2N)')
text(2100,top*3/4,'o(N^2N^3/4)')
text(2100,top/2,'o(N^2N/2)')
text(2100,top/3,'o(N^2N/3)')
text(2100,top/4,'o(N^2N/4)')
text(2100,min(fft_time),'o(N*logN)')
```

数字信号处理 - 离散傅里叶变换及其快速计算方法

52

3.4 FFT——基2时域抽选法



- 从图中可以看到, 图中曲线分成几组, 表示了 N 的不同组合情况。
- 当 N 高度可合时, 划分 - 组合策略是有效的。例如 $N = 2048$ 时, 执行时间约为 0 秒, $N = 2047$ 时为 0.05 秒, $N = 2029$ 时为 0.22 秒。
- 在实际中一般选择是 $N = 2^M$ 。当信号的取样点数不是 2 的整数次幂时, 可以在信号的末尾补 0, 外加的 0 不会影响信号的 DTFT 或 DFT 特性。

数字信号处理 - 离散傅里叶变换及其快速计算方法

53

习题

3.24

3.26 (用 8 点基 2 DIT。要求: 公式推导, 画出流程图, 算出每列每点处的数值)

3.28 (提示: 用两个实序列构成一个复序列, 再利用 DFT 的性质之一)

习题下周交

实验三: 基4-FFT算法编程

实验要求请到 DSP 公邮下载 zju_dsp@163.com

密码: dsp_zju

可交纸质版或 PDF 电子版发送到: 3130103370@zju.edu.cn

实验11月6日交

54